

I-275 H_∞制御理論に基づく橋梁主塔の能動制振装置の設計について

川崎重工業 正員 坂井藤一, 高枝新伍, ○玉木利裕
西 義和, 村井謙一, 加賀谷博昭

はじめに 吊橋や斜張橋の架設段階では架設完了後に比べて剛性が小さく、風による振動が架設工事の安全性の点から問題になることがある。これを抑制するために種々の制振装置が考案され、一部のものは実際の架設工事に適用されている。橋梁の架設工事では、対象構造物の動特性が工事の進行とともに大幅に変化するため、制振装置もその変化に対応できることが望まれる。この点からも能動制振が盛んに研究され、ロバスト制御も試みられるようになってきている^{1), 2)}。著者らは実際的な橋梁主塔を想定して、その力学的相似模型にH_∞制御理論^{1), 2)}に基づくアクティブおよびハイブリッドの制振装置を設置し、制振効果を検証する実験を行った^{3), 4)}。本論文では主に制振装置の制御系設計について述べる。

1. 制振対象と実験装置 実際的な大型橋梁の主塔を想定し、その面外曲げ1次、2次モードを対象として縮尺1/12の力学的相似模型を図-1に示すような2重振り子方式で作製した。本装置は支持点をサーボモーターおよびボールねじで駆動することにより、任意の波形で加振できる。制振装置は主塔頂部に相当する構造物模型の下段に設置した。

アクティブ制振装置(図-1)はトルク制御型のACサーボモーターおよびボールねじにより重錐を直線駆動し、その反作用で制振力を得るものである。また、ハイブリッド制振装置(図-2)は倒立振り子にバネ・ダンパーを設けこれをACサーボモーターにより駆動するものである。

2. 制御対象のモデル化

図-1の構造物模型に対し、加振機基準位置を原点とする絶対座標 $r = [x_1 + z, x_2 + z, x_3 + z]^T$ を定義し、 $x = [r \dot{r}]^T$ として(1)式の状態空間モデルが得られる。

$$\begin{cases} \dot{x} = Ax + Bu + E_1 \dot{z} + E_2 z \\ y = Cx + Du \end{cases} \quad \dots \dots (1)$$

$$A = \begin{bmatrix} 0 & I \\ -M^{-1}K & -M^{-1}C \end{bmatrix}, \quad B = \begin{bmatrix} 0 & 0 & 0 & 0 & -\frac{k_T}{m_2} & -\frac{k_T}{m_3} \end{bmatrix}^T,$$

$$E_1 = \begin{bmatrix} 0 & 0 & 0 & \frac{C_1}{m_1} & 0 & 0 \end{bmatrix}^T, \quad E_2 = \begin{bmatrix} 0 & 0 & 0 & \frac{K_1}{m_1} & 0 & 0 \end{bmatrix}^T$$

$$C = \begin{bmatrix} \frac{K_2}{m_2} & -\frac{K_2}{m_2} & 0 & \frac{C_2}{m_2} & -\frac{C_2 + C_3}{m_2} & \frac{C_3}{m_2} \\ 0 & -1 & 1 & 0 & 0 & 0 \end{bmatrix}, \quad D = \begin{bmatrix} -\frac{k_T}{m_2} \\ 0 \end{bmatrix}$$

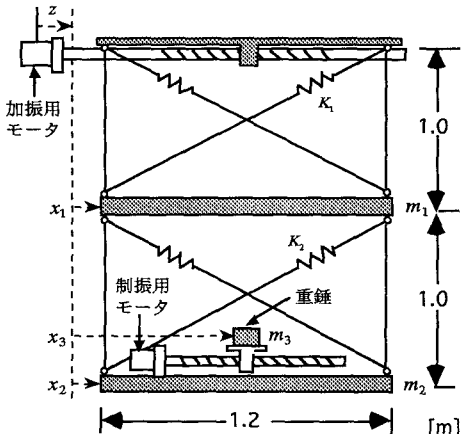


図-1 構造物模型とアクティブ制振装置

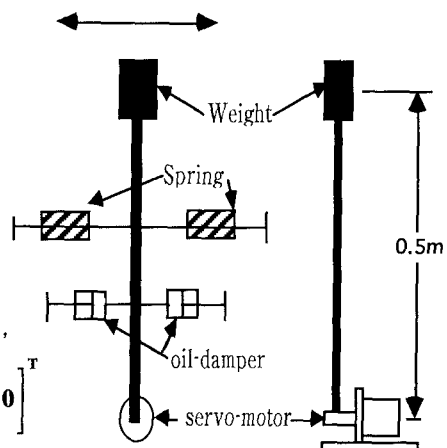


図-2 ハイブリッド型制振装置

M , C , K , k_T は質量, 減衰, 剛性マトリクス, トルク定数である. 各々のパラメータは表-1に示す.

表-1 モデルのパラメータ (単位 m:kg, C:Ns/m, K:N/m, k_T:Nm/V)

	m_1	m_2	m_3	C_1	C_2	C_3	K_1	K_2	K_3	k_T
アクティブ制振装置	270	204	4.25	11.5	5.0	0.1	8450	64800	0	7
ハイブリッド制振装置	270	240	4.75	11.5	5.0	3	8947	75860	76	7

3. ループ整形設計手順による制御系の設計

MacFarlane, Glover²⁾らによって提案されたループ整形手順を適用して、次のように制御系を設計する。

- 1) 制振目的:特に1次モードの制振に着目し、対数減衰率で0.1以上に増大する。さらに制振装置のストロークやモータの定格を満足し、加速度計のドリフトやノイズの影響を受けない制御系とする。

2) ループ整形:制御目的を達成するために、(2式)に示す整形関数を考え、図-4のような拡大プロット系 $G_w = W_b G_{nom}$ を構成する。ただし $G_w = C(sI - A)^{-1}B + D$ である。この時、 G_w に対する最大安定マージンはアクティブ、ハイブリッド制振装置でそれぞれ $\epsilon_{max} = 0.345, 0.358$ であり、この整形関数は適当であると言える。

$$\mathbf{W}_p = \begin{bmatrix} \mathbf{W}_1 & \mathbf{0} \\ \mathbf{0} & \mathbf{W}_2 \end{bmatrix} \quad \dots \dots \dots (2)$$

$$W_1 = \frac{3(s^2 + 50s + 50^2)}{s^2 + 3s + 4^2}, \quad W_2 = \frac{300(s^2 + s + 1)}{s^2 + 0.02s + 0.02^2}$$

アクティブ制振装置

$$W_1 = \frac{5000}{s^2 + 3s + 4^2}, W_2 = \frac{200(s^2 + s + 1)}{s^2 + 0.02s + 0.02^2}$$

ハイブリッド制振装置

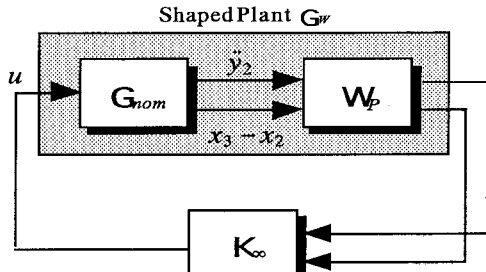
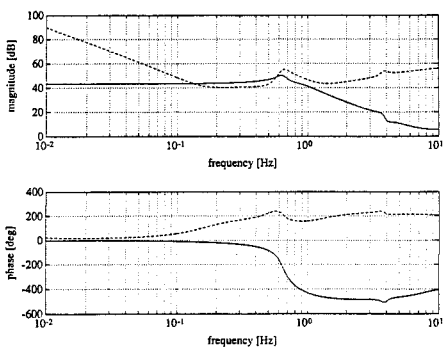


図-4 ループ整形

- 3) 最終コントローラ: 拡大プラント G_w に対する安定化コントローラ K_∞ より、14次の最終コントローラ $K_{\infty w}$ が得られる。制振装置のコントローラの伝達関数を図-5に示す。



アクティブ制振装置

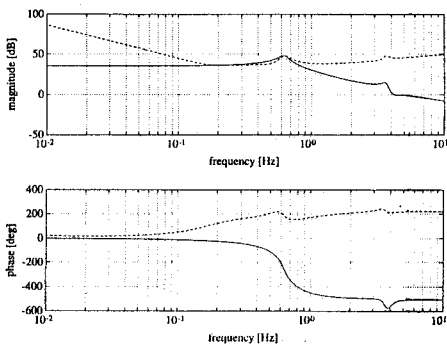


図-5 最終コントローラ K_w のボード線図

おわりに 本論文ではH_∞制御理論による制振装置設計について述べた。本装置の振動実験による検証については文献[3,4]に示されている。

【参考文献】 1)川谷, 松嶋: 正規化既約分解表現に基づく橋梁のロバスト制振制御, システム制御情報学会論文誌, Vol.6, No.1, pp48-56, 1993. 2)D.C.McFarlane and K.Glover: Robust Controller Design Using Normalized Coprime Factor Plant Descriptions, Lecture Notes in Control and Information Sciences, 138, Springer Verlag, 1990. 3)西, 村井, 加賀谷, 坂井, 高枝, 玉木: H_∞ 制御理論に基づく橋梁主塔の振動制御, 計測自動制御学会学術講演会, 1993. 4)坂井, 高枝, 玉木, 西, 村井, 加賀谷: H_∞ 制御に基づく橋梁主塔の能動制振装置の模型実験による検証, 土木学会年次大会講演概要集, 第I部門, 1993.